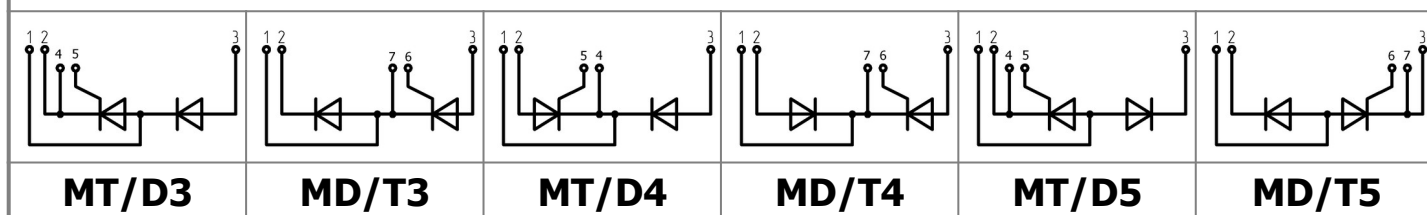
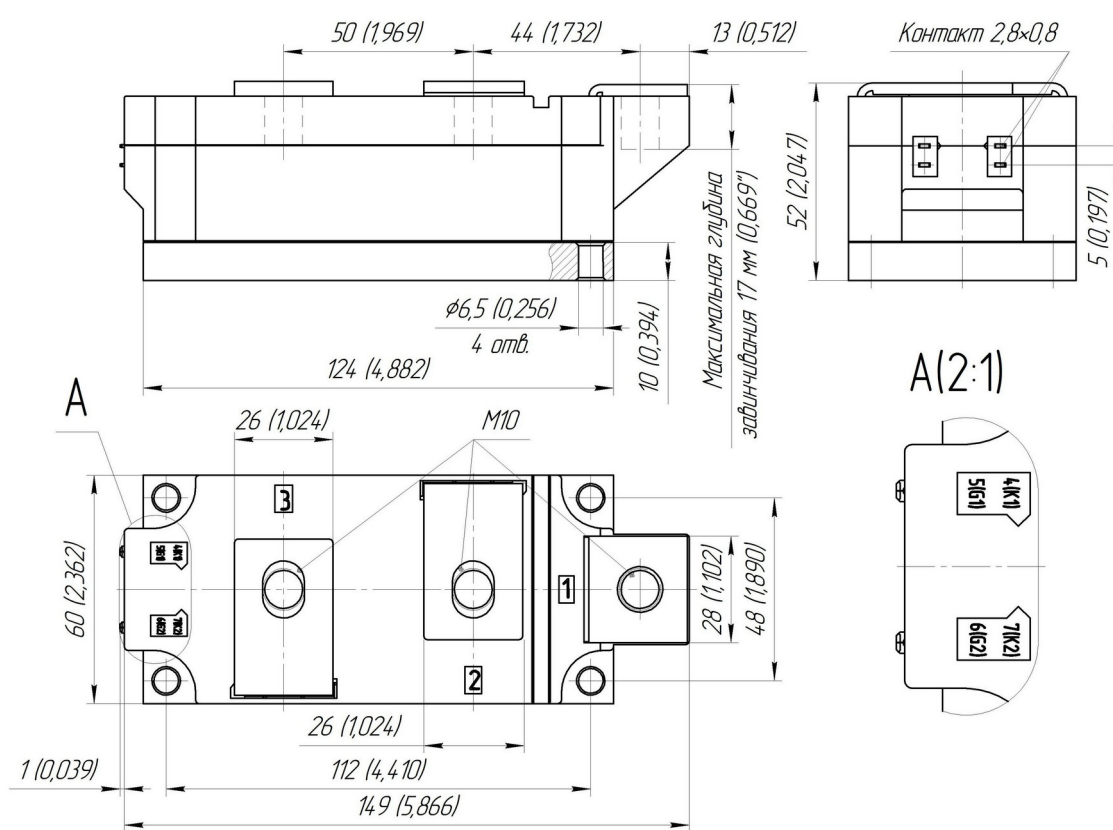
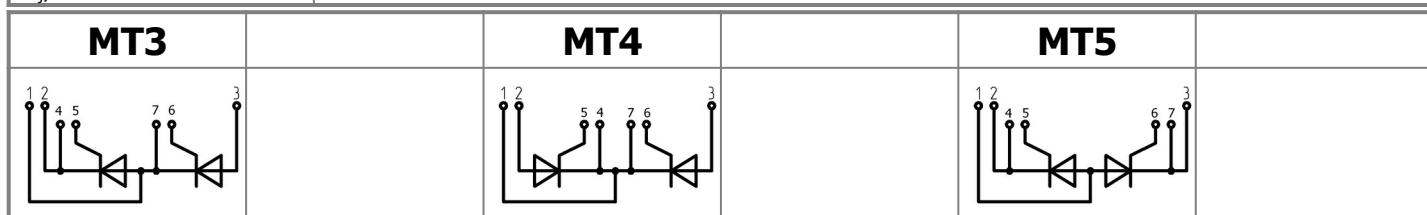




Изолированное основание
 Корпус промышленного стандарта
 Упрощенная механическая конструкция,
 быстрая сборка
 Прижимная конструкция

Двухпозиционный Тиристорный Модуль МТх-430-24-А2

Средний прямой ток	I_{TAV}	430 А		
Повторяющееся импульсное напряжение в закрытом состоянии	U_{DRM}	2000...2400 В		
Повторяющееся импульсное обратное напряжение	U_{RRM}			
Время выключения	t_q	250 мкс		
$U_{DRM}, U_{RRM}, В$	2000	2200	2400	
Класс по напряжению	20	22	24	
$T_j, ^\circ C$	-40...+125			




ПРЕДЕЛЬНО ДОПУСТИМЫЕ ЗНАЧЕНИЯ ПАРАМЕТРОВ

Обозначение и наименование параметра		Ед. изм.	Значение	Условия измерения	
Параметры в проводящем состоянии					
I_{TAV}	Максимально допустимый средний ток в открытом состоянии	А	430	$T_c = 85\text{ }^\circ\text{C}$; 180 эл. град. синус; 50 Гц	
I_{TRMS}	Действующий ток в открытом состоянии	А	675		
I_{TSM}	Ударный ток в открытом состоянии	кА	12.0 14.0	$T_j = T_{j\text{ max}}$ $T_j = 25\text{ }^\circ\text{C}$	180 эл. град. синус; $t_p = 10\text{ мс}$; единичный импульс; $U_D = U_R = 0\text{ В}$; Импульс управления: $I_G = 2\text{ А}$; $t_{GP} = 50\text{ мкс}$; $di_G/dt \geq 1\text{ А/мкс}$
			13.0 15.0	$T_j = T_{j\text{ max}}$ $T_j = 25\text{ }^\circ\text{C}$	180 эл. град. синус; $t_p = 8.3\text{ мс}$; единичный импульс; $U_D = U_R = 0\text{ В}$; Импульс управления: $I_G = 2\text{ А}$; $t_{GP} = 50\text{ мкс}$; $di_G/dt \geq 1\text{ А/мкс}$
I^2t	Защитный показатель	A^2c10^3	720 980	$T_j = T_{j\text{ max}}$ $T_j = 25\text{ }^\circ\text{C}$	180 эл. град. синус; $t_p = 10\text{ мс}$; единичный импульс; $U_D = U_R = 0\text{ В}$; Импульс управления: $I_G = 2\text{ А}$; $t_{GP} = 50\text{ мкс}$; $di_G/dt \geq 1\text{ А/мкс}$
			700 930	$T_j = T_{j\text{ max}}$ $T_j = 25\text{ }^\circ\text{C}$	180 эл. град. синус; $t_p = 8.3\text{ мс}$; единичный импульс; $U_D = U_R = 0\text{ В}$; Импульс управления: $I_G = 2\text{ А}$; $t_{GP} = 50\text{ мкс}$; $di_G/dt \geq 1\text{ А/мкс}$
Блокирующие параметры					
U_{DRM}, U_{RRM}	Повторяющееся импульсное обратное напряжение и повторяющееся импульсное напряжение в закрытом состоянии	В	2000...2400	$T_{j\text{ min}} < T_j < T_{j\text{ max}}$; 180 эл. град. синус; 50 Гц; управление разомкнуто	
U_{DSM}, U_{RSM}	Неповторяющееся импульсное обратное напряжение и неповторяющееся импульсное напряжение в закрытом состоянии	В	2100...2500	$T_{j\text{ min}} < T_j < T_{j\text{ max}}$; 180 эл. град. синус; единичный импульс; управление разомкнуто	
U_D, U_R	Постоянное обратное и постоянное прямое напряжение	В	$0.6 \cdot U_{DRM}$ $0.6 \cdot U_{RRM}$	$T_j = T_{j\text{ max}}$; управление разомкнуто	
Параметры управления					
I_{FGM}	Максимальный прямой ток управления	А	8	$T_j = T_{j\text{ max}}$	
U_{RGM}	Максимальное обратное напряжение управления	В	5		
P_G	Максимальная рассеиваемая мощность по управлению	Вт	4	$T_j = T_{j\text{ max}}$ для постоянного тока управления	
Параметры переключения					
$(di_T/dt)_{crit}$	Критическая скорость нарастания тока в открытом состоянии ($f = 1\text{ Hz}$)	А/мкс	400	$T_j = T_{j\text{ max}}$; $U_D = 0.67 \cdot U_{DRM}$; $I_{TM} = 2 I_{TAV}$; Импульс управления: $I_G = 2\text{ А}$; $t_{GP} = 50\text{ мкс}$; $di_G/dt \geq 2\text{ А/мкс}$	
Тепловые параметры					
T_{stg}	Температура хранения	$^\circ\text{C}$	-40...+50		
T_j	Температура р-п перехода	$^\circ\text{C}$	-40...+125		
$T_{c\text{ op}}$	Рабочая температура корпуса	$^\circ\text{C}$	-40...+125		
Механические параметры					
a	Ускорение	м/с ²	50		

ХАРАКТЕРИСТИКИ

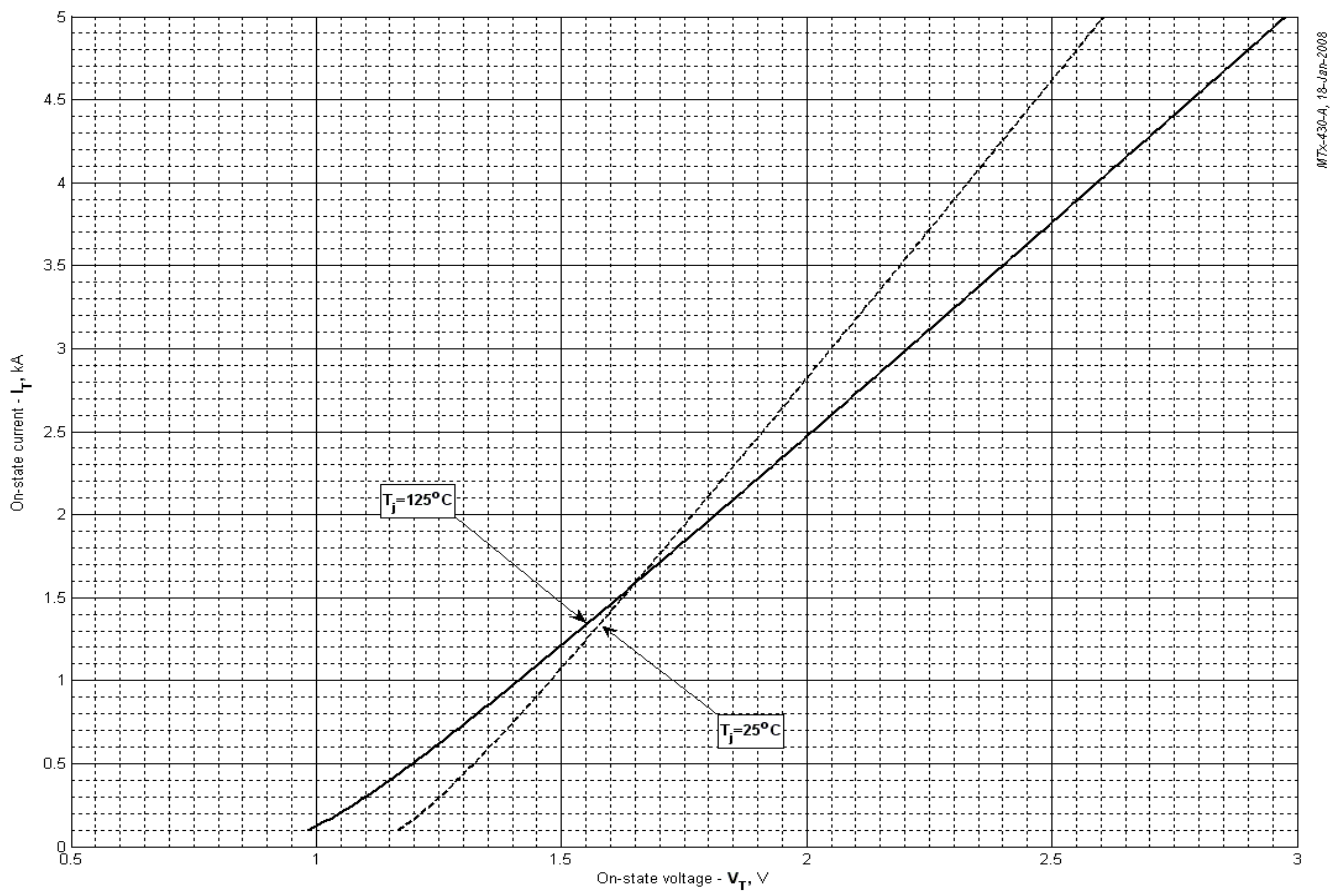
Обозначение и наименование характеристики		Ед. изм.	Значение	Условия измерения	
Характеристики в проводящем состоянии					
U_{TM}	Импульсное напряжение в открытом состоянии, макс	В	1.55	$T_j=25\text{ °C}; I_{TM}=1256\text{ A}$	
$U_{T(ТО)}$	Пороговое напряжение, макс	В	1.00	$T_j=T_{j\text{ max}};$ $0.5\pi I_{TAV} < I_T < 1.5\pi I_{TAV}$	
r_T	Динамическое сопротивление в открытом состоянии, макс	МОм	0.410		
I_L	Ток включения, макс	мА	1000	$T_j=25\text{ °C}; U_D=12\text{ В};$ Импульс управления: $I_G=2\text{ A};$ $t_{GP}=50\text{ мкс}; di_G/dt \geq 1\text{ А/мкс}$	
I_H	Ток удержания, макс	мА	300	$T_j=25\text{ °C};$ $U_D=12\text{ В};$ управление разомкнуто	
Блокирующие характеристики					
I_{DRM}, I_{RRM}	Повторяющийся импульсный обратный ток и повторяющийся импульсный ток в закрытом состоянии, макс	мА	100 3.00	$T_j=T_{j\text{ max}}$ $T_j=25\text{ °C}$	$U_D=U_{DRM}; U_R=U_{RRM}$
$(du_D/dt)_{crit}$	Критическая скорость нарастания напряжения в закрытом состоянии ¹⁾ , мин	В/мкс	1000	$T_j=T_{j\text{ max}};$ $U_D=0.67 \cdot U_{DRM};$ управление разомкнуто	
Характеристики управления					
U_{GT}	Отпирающее постоянное напряжение управления, макс	В	4.00 2.50 2.00	$T_j=T_{j\text{ min}}$ $T_j=25\text{ °C}$ $T_j=T_{j\text{ max}}$	$U_D=12\text{ В}; I_D=3\text{ A};$ Постоянный ток управления
I_{GT}	Отпирающий постоянный ток управления, макс	мА	400 250 200	$T_j=T_{j\text{ min}}$ $T_j=25\text{ °C}$ $T_j=T_{j\text{ max}}$	
U_{GD}	Неотпирающее постоянное напряжение управления, мин	В	0.25	$T_j=T_{j\text{ max}};$ $U_D=0.67 \cdot U_{DRM};$	
I_{GD}	Неотпирающий постоянный ток управления, мин	мА	10.00	Постоянный ток управления	
Динамические характеристики					
t_{gd}	Время задержки, макс	мкс	2.50	$T_j=25\text{ °C}; U_D=1000\text{ В}; I_{TM}=I_{TAV};$ $di/dt=200\text{ А/мкс};$ Импульс управления: $I_G=2\text{ А}; U_G=20\text{ В};$ $t_{GP}=50\text{ мкс}; di_G/dt=2\text{ А/мкс}$	
t_q	Время выключения ²⁾ , макс	мкс	250	$du_D/dt=50\text{ В/мкс}; T_j=T_{j\text{ max}}; I_{TM}=I_{TAV};$ $di_R/dt=-10\text{ А/мкс}; U_R=100\text{ В};$ $U_D=0.67 \cdot U_{DRM}$	
Q_{rr}	Заряд обратного восстановления, макс	мкКл	1500	$T_j=T_{j\text{ max}}; I_{TM}=430\text{ А};$ $di_R/dt=-10\text{ А/мкс};$ $U_R=100\text{ В}$	
t_{rr}	Время обратного восстановления, макс	мкс	23		
I_{rr}	Обратный ток восстановления, макс	А	130		
Тепловые характеристики					
R_{thjc}	Тепловое сопротивление р-п переход-корпус, макс			180 эл. град. синус; 50 Гц	
	на модуль	°С/Вт	0.0325		
	на позицию	°С/Вт	0.0650		
	на модуль	°С/Вт	0.0310		
	на позицию	°С/Вт	0.0620	Постоянный ток	

R _{thch}	Тепловое сопротивление корпус-охладитель, макс			
	на модуль	°C/Вт	0.0100	
	на позицию	°C/Вт	0.0200	
Характеристики изоляции				
U _{ISOL}	Электрическая прочность изоляции	кВ	3.00	синус; 50 Гц; действующее значение
			3.60	
Механические характеристики				
M ₁	Момент затяжки основания (M6) ³⁾	Нм	6.00	Допуск ± 15%
M ₂	Момент затяжки выводов (M10) ³⁾	Нм	12.00	Допуск ± 15%
m	Масса, макс	г	1500	

МАРКИРОВКА										ПРИМЕЧАНИЕ							
MT	3	-	430	-	24	-	A2	M2	-	A2	-	Y2	1) Критическая скорость нарастания напряжения в закрытом состоянии				
1	2		3		4		5	6		7		8		<table border="1"> <tr> <td>Обозначение группы</td> <td>A2</td> </tr> <tr> <td>(du_D/dt)_{crit}, В/мкс</td> <td>1000</td> </tr> </table>	Обозначение группы	A2	(du _D /dt) _{crit} , В/мкс
Обозначение группы	A2																
(du _D /dt) _{crit} , В/мкс	1000																
1. Тиристорный модуль (MT) Тиристорно-диодный модуль (MT/Д) Диодно-тиристорный модуль (МД/Т) 2. Схема включения 3. Средний прямой ток, А 4. Класс по напряжению 5. Критическая скорость нарастания напряжения в закрытом состоянии 6. Группа по времени выключения (du _D /dt=50 В/мкс) 7. Тип корпуса (M.A2) 8. Климатическое исполнение по ГОСТ 15150: Y2													2) Время выключения (du _D /dt=50 В/мкс) <table border="1"> <tr> <td>Обозначение группы</td> <td>M2</td> </tr> <tr> <td>t_q, мкс</td> <td>250</td> </tr> </table>	Обозначение группы	M2	t _q , мкс	250
Обозначение группы	M2																
t _q , мкс	250																
 Сертифицирован UL, файл № E255404													3) Резьба должна быть смазана				

Содержащаяся здесь информация является конфиденциальной и находится под защитой авторских прав.

В интересах улучшения качества продукции, АО «Протон-Электротекс» оставляет за собой право изменять информационные листы без уведомления.



MTX-430-A, 18-Jan-2008

Рис. 1 – Предельная вольт – амперная характеристика

Аналитическая функция предельной вольт — амперной характеристики:

$$V_T = A + B \cdot i_T + C \cdot \ln(i_T + 1) + D \cdot \sqrt{i_T}$$

	Коэффициенты для графика	
	$T_j = 25^\circ\text{C}$	$T_j = T_{j\text{max}}$
A	1.069142	0.852344
B	0.239424	0.334163
C	-0.158239	-0.211339
D	0.278291	0.371677

Модель предельной вольт – амперной характеристики (см. Рис. 1).

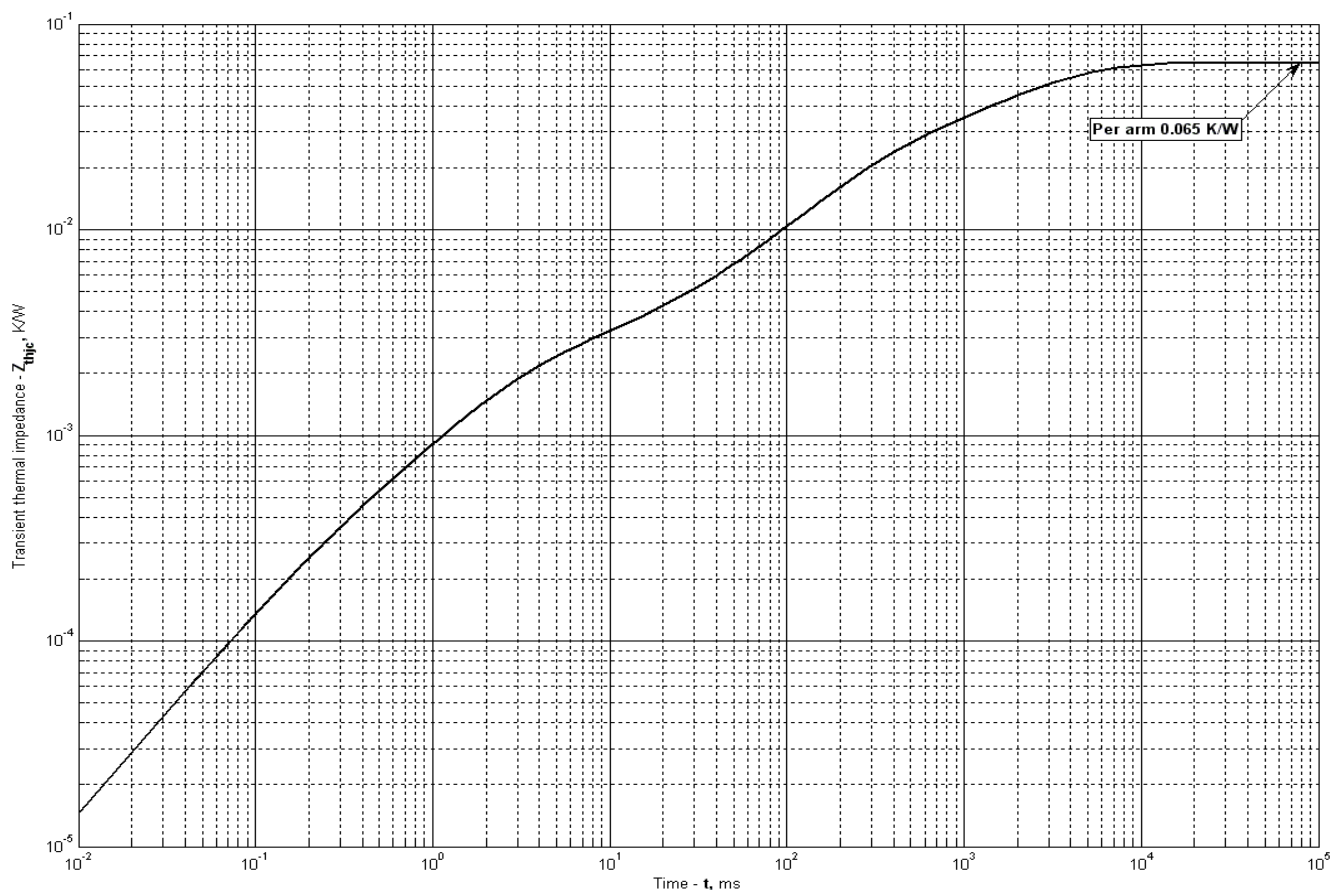


Рис. 2 – Переходное тепловое сопротивление

Аналитическая зависимость переходного теплового сопротивления переход — корпус:

$$Z_{thjc} = \sum_{i=1}^n R_i \left(1 - e^{-\frac{t}{\tau_i}} \right)$$

Где $i = 1$ до n , n – число суммирующихся элементов.

t = продолжительность импульсного нагрева в секундах.

Z_{thjc} = Тепловое сопротивление за время t .

R_i, τ_i = расчетные коэффициенты, приведенные в таблице.

Постоянный ток, двустороннее охлаждение

i	1	2	3	4	5	6
$R_i, K/W$	0.0344	0.0112	0.01635	0.0006528	0.001791	0.0001363
$\tau_{i, s}$	3.132	1.000	0.2335	0.01038	0.002348	0.0002448

Модель переходного теплового сопротивления переход - корпус (см. Рис. 2)

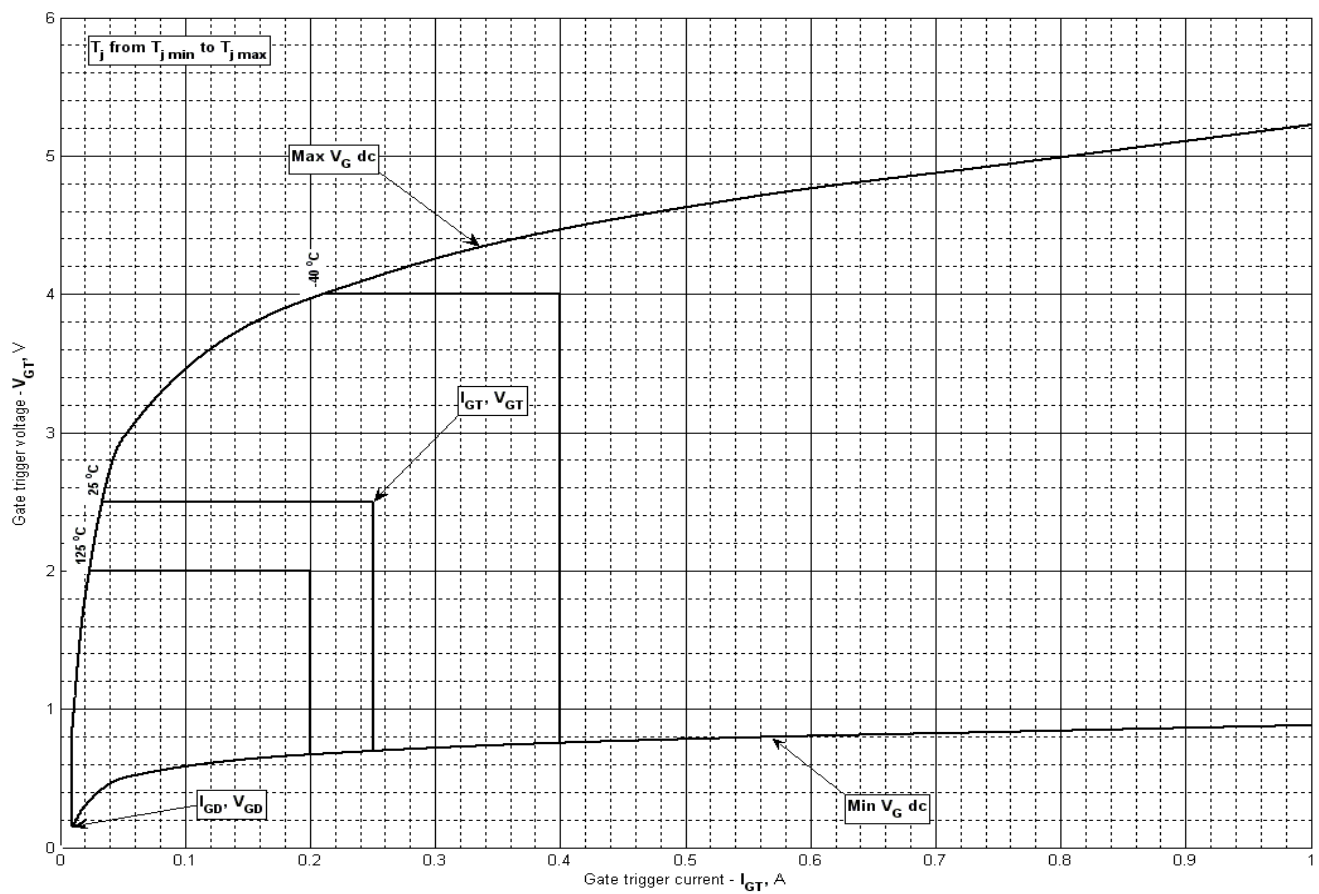


Рис. 3 – Вольт – амперная характеристика цепи управления – границы переключения

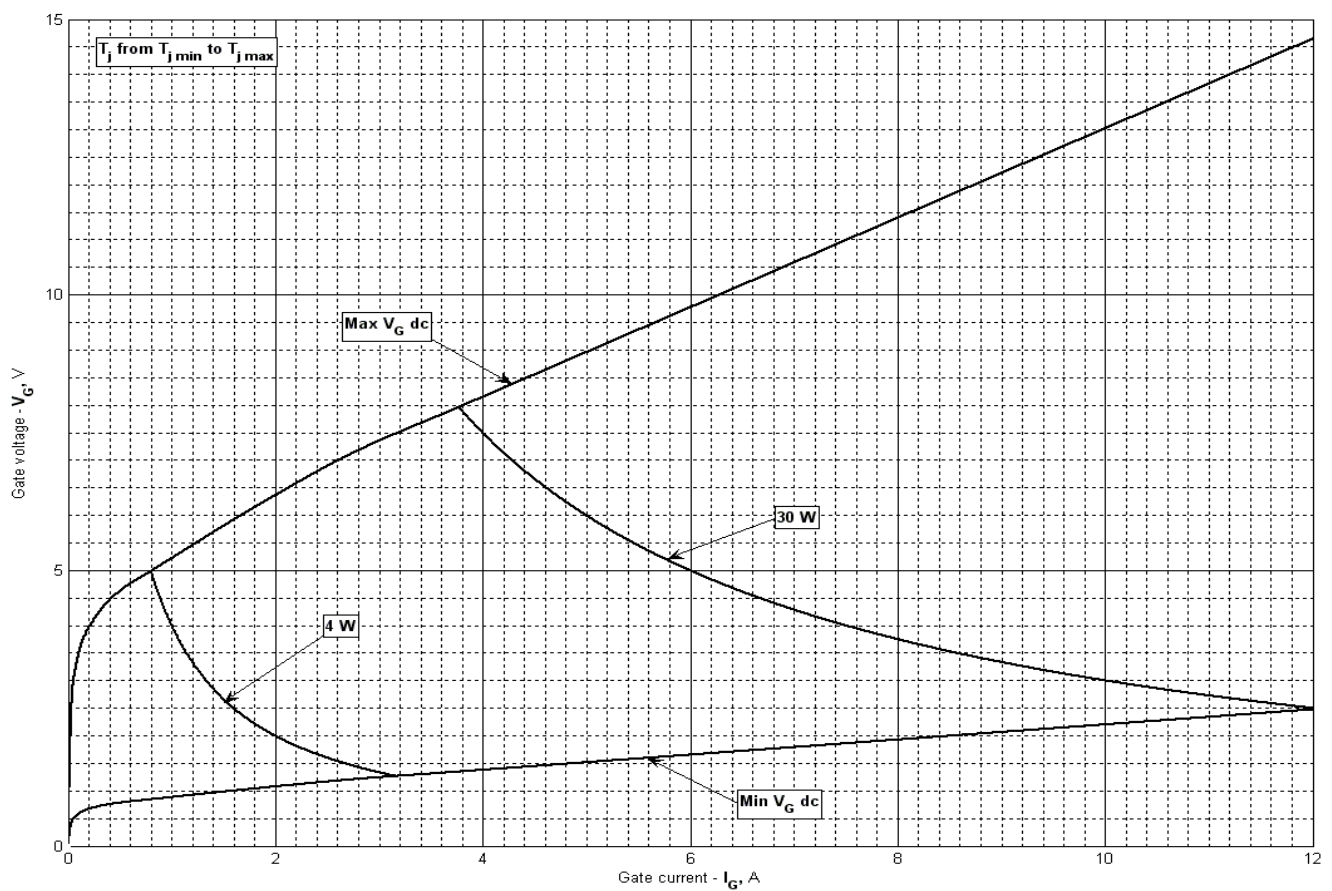


Рис. 4 – Вольт – амперная характеристика цепи управления

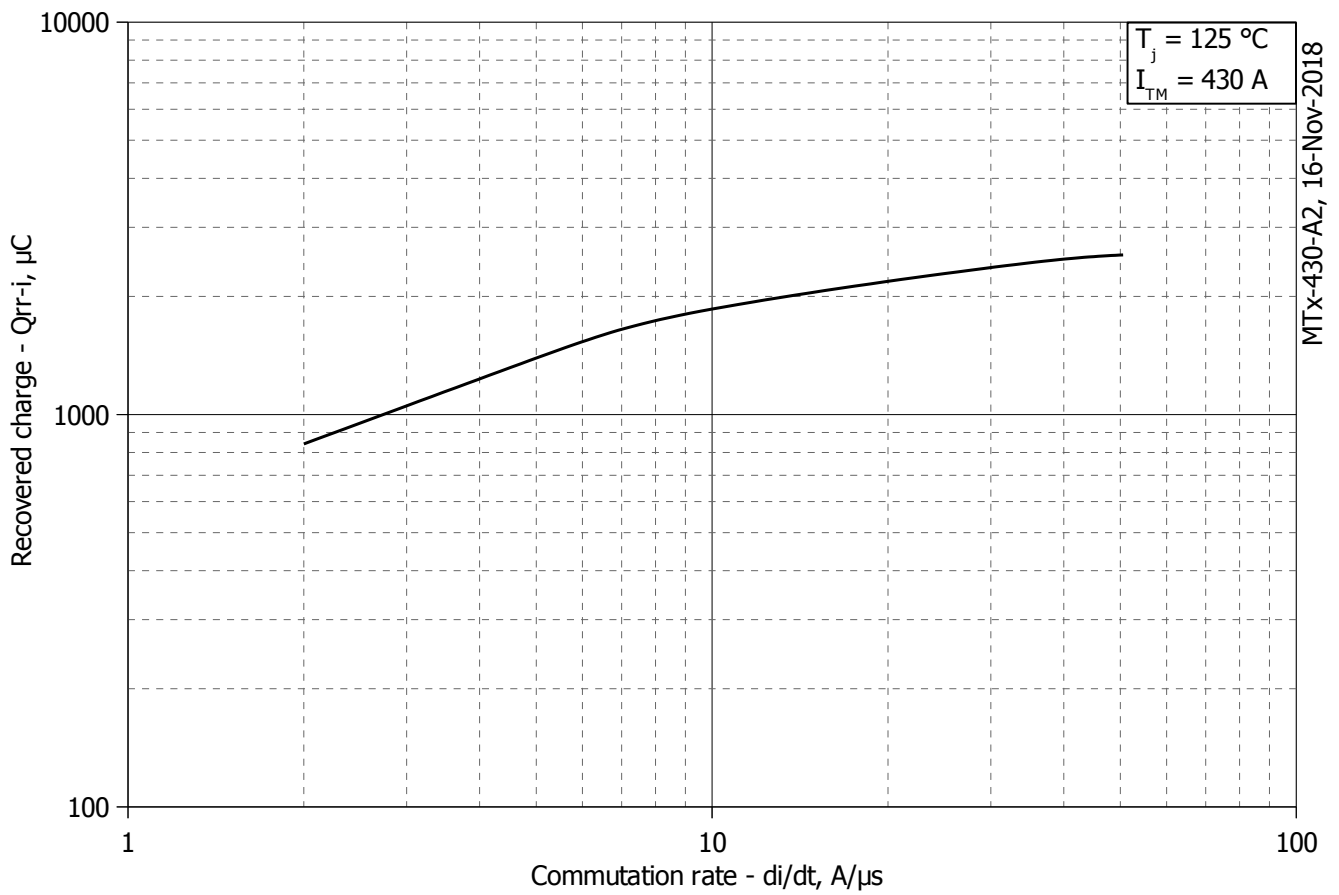


Рис. 5 – Максимальный интегральный заряд обратного восстановления, Q_{rr-i}

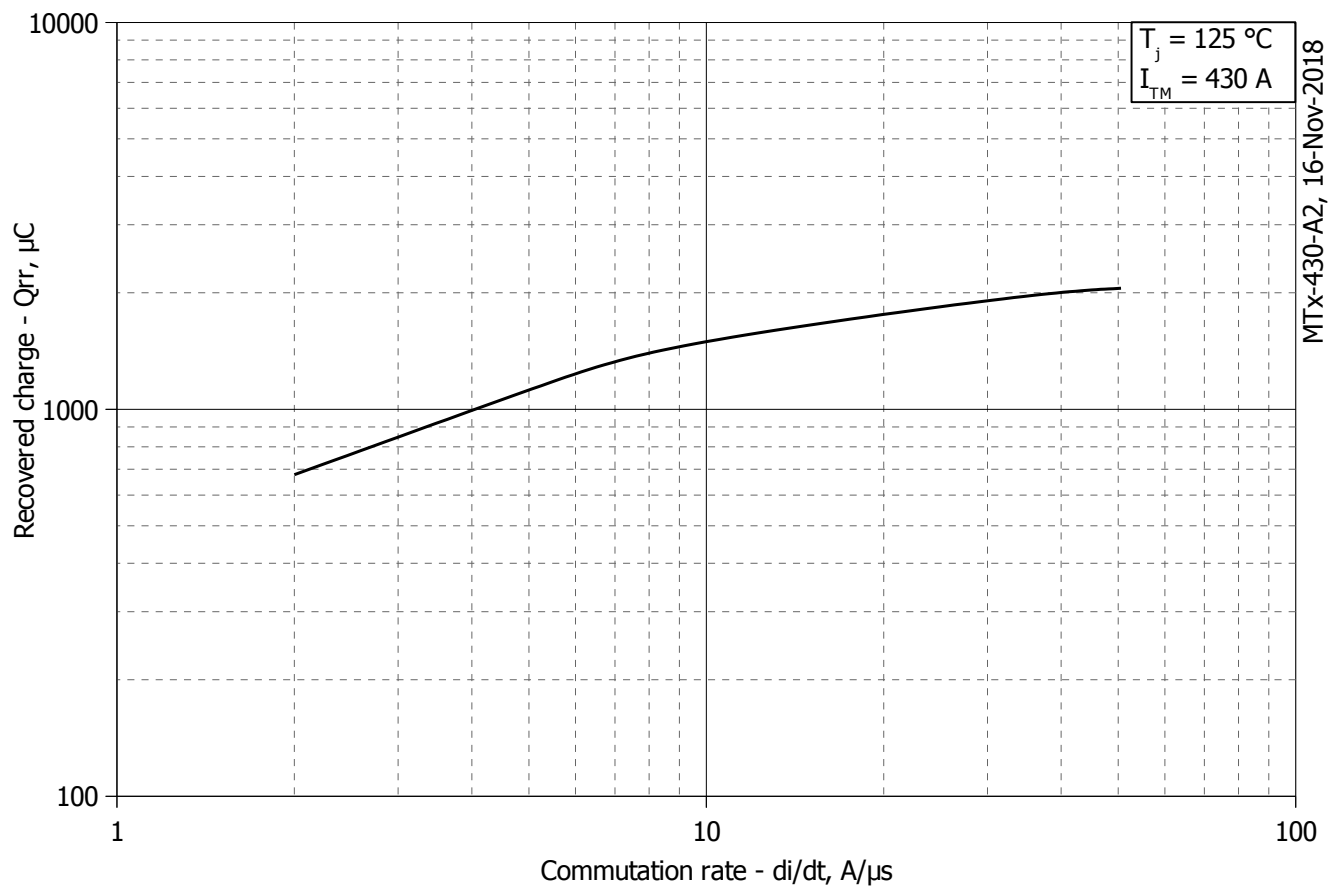


Рис. 6 – Максимальный заряд обратного восстановления, Q_{rr} (по ГОСТ 24461, хорда 25%)

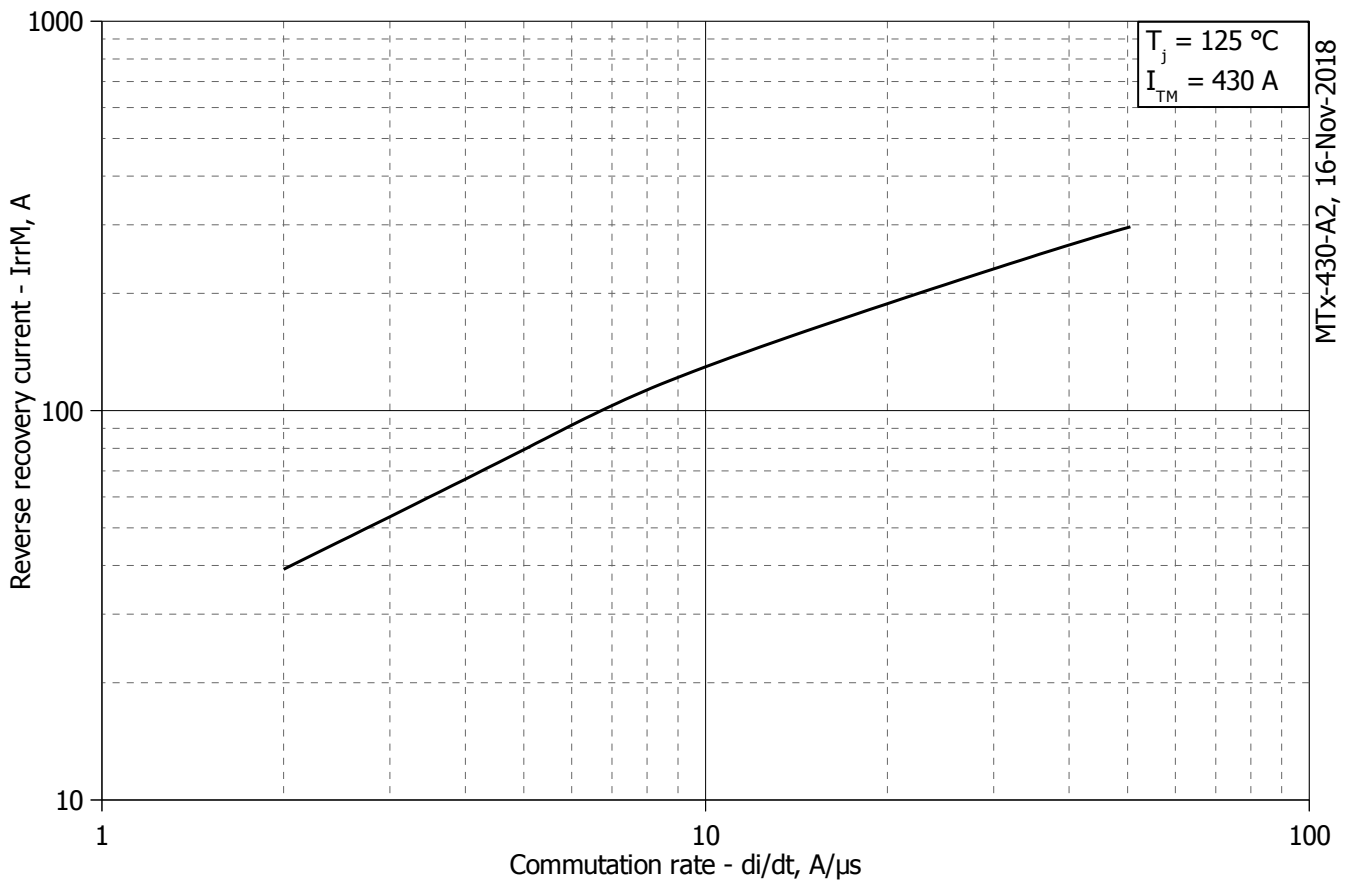


Рис. 7 – Максимальный ток обратного восстановления, I_{rrM}

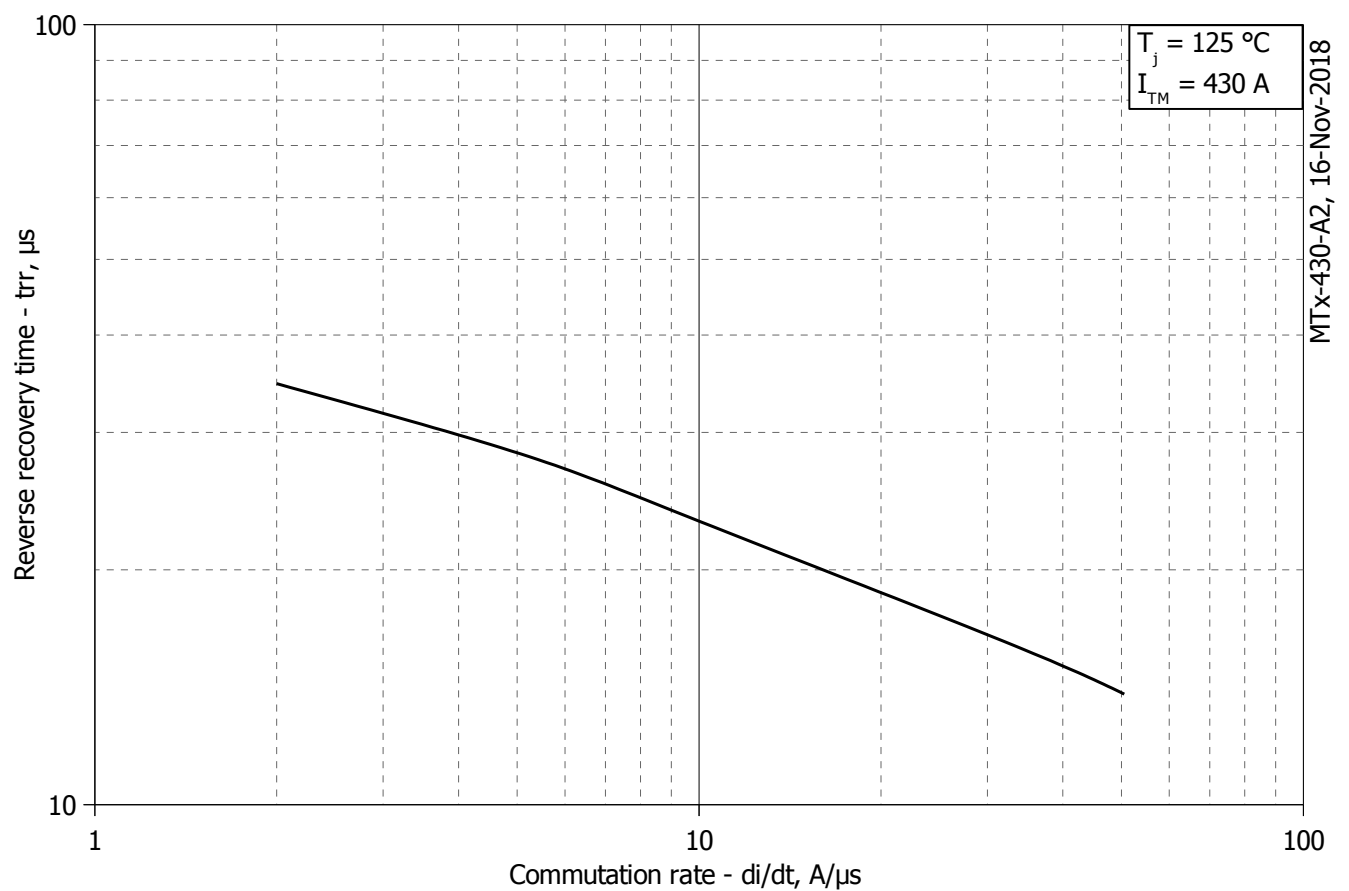


Рис. 8 – Максимальное время обратного восстановления, t_{rr} (по ГОСТ 24461, хорда 25%)

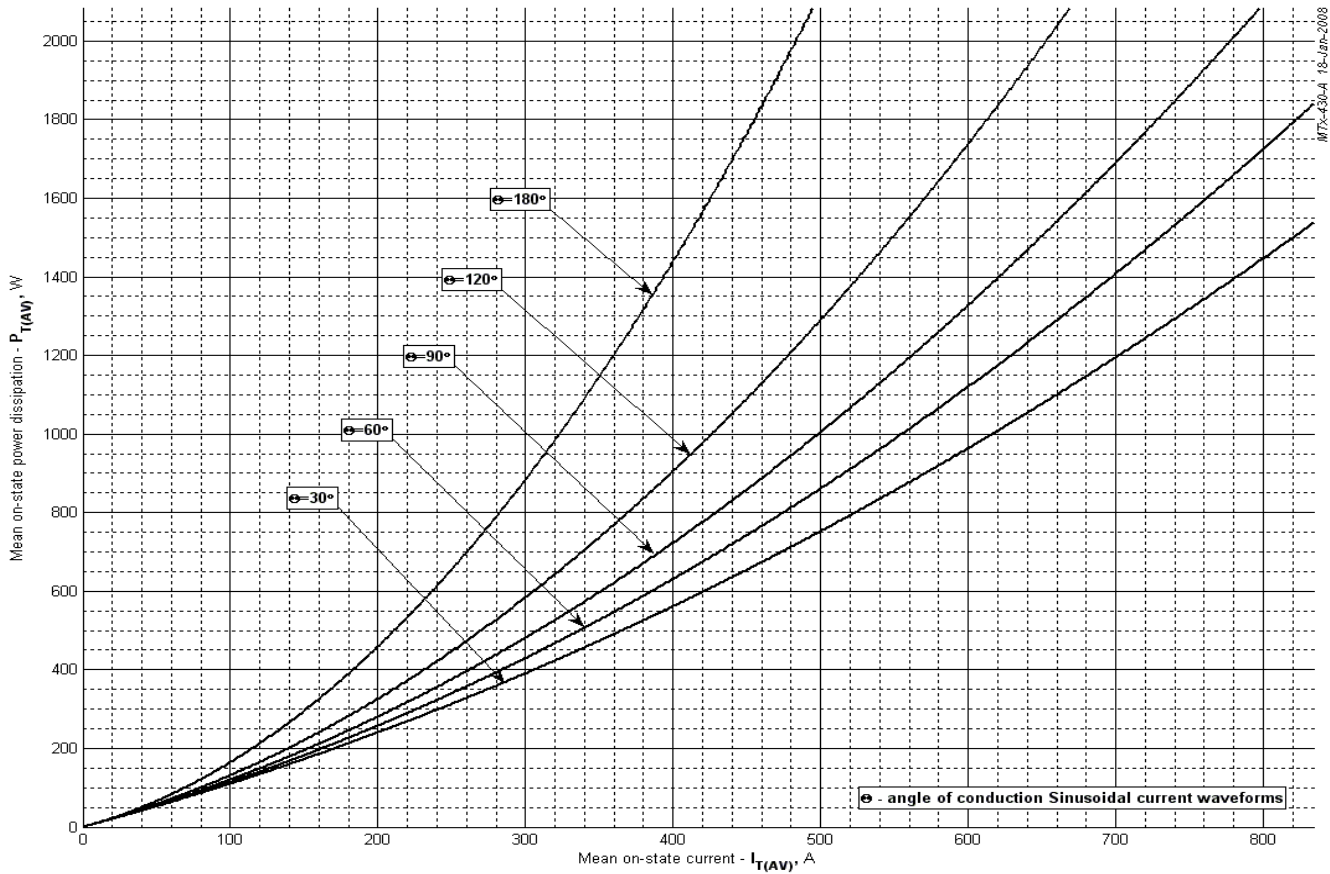


Рис. 9 – Зависимость потерь мощности P_{TAV} от среднего прямого тока I_{TAV} синусоидальной формы при различных углах проводимости ($f=50$ Гц)

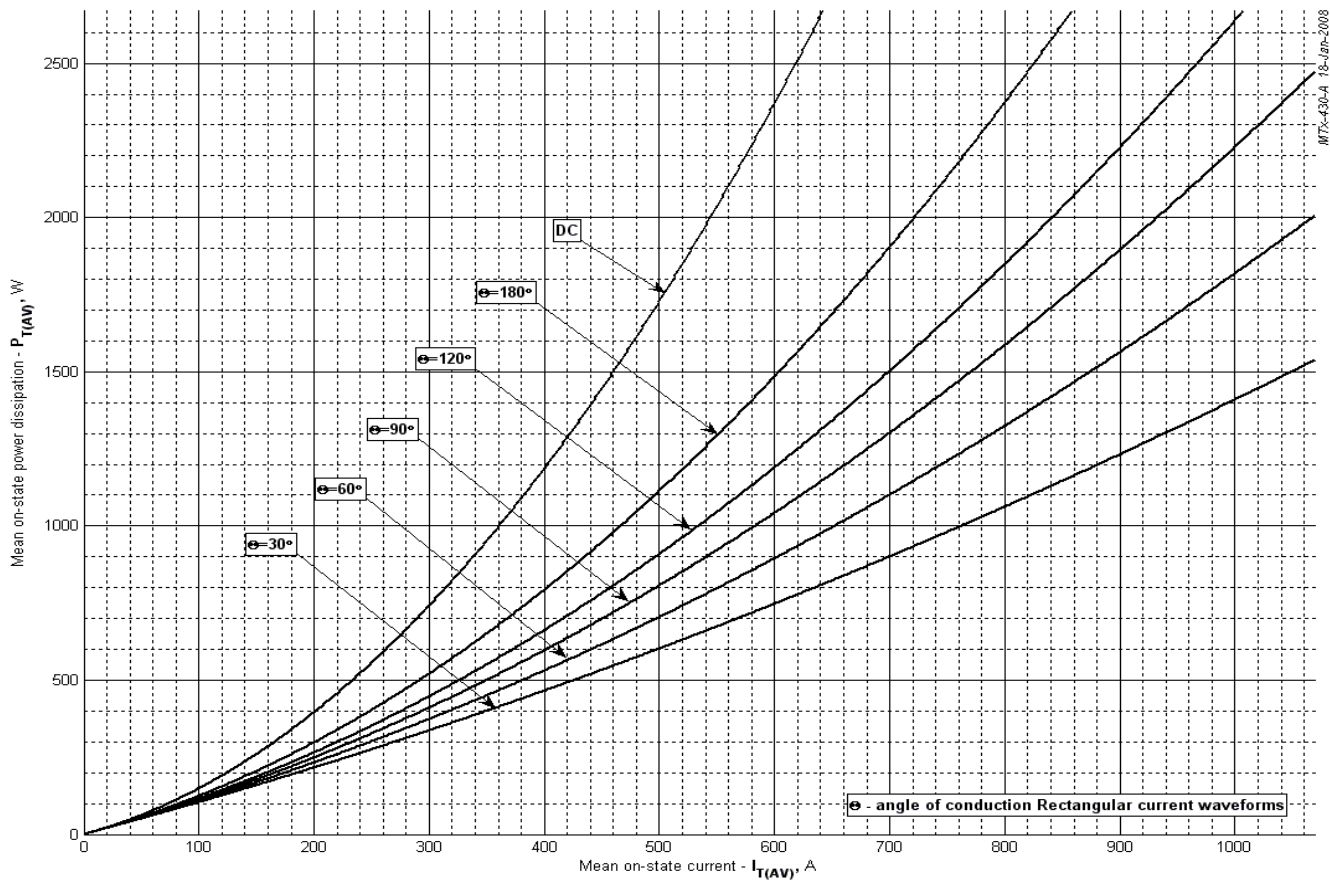


Рис. 10 – Зависимость потерь мощности P_{TAV} от среднего прямого тока I_{TAV} прямоугольной формы при различных углах проводимости ($f=50$ Гц)

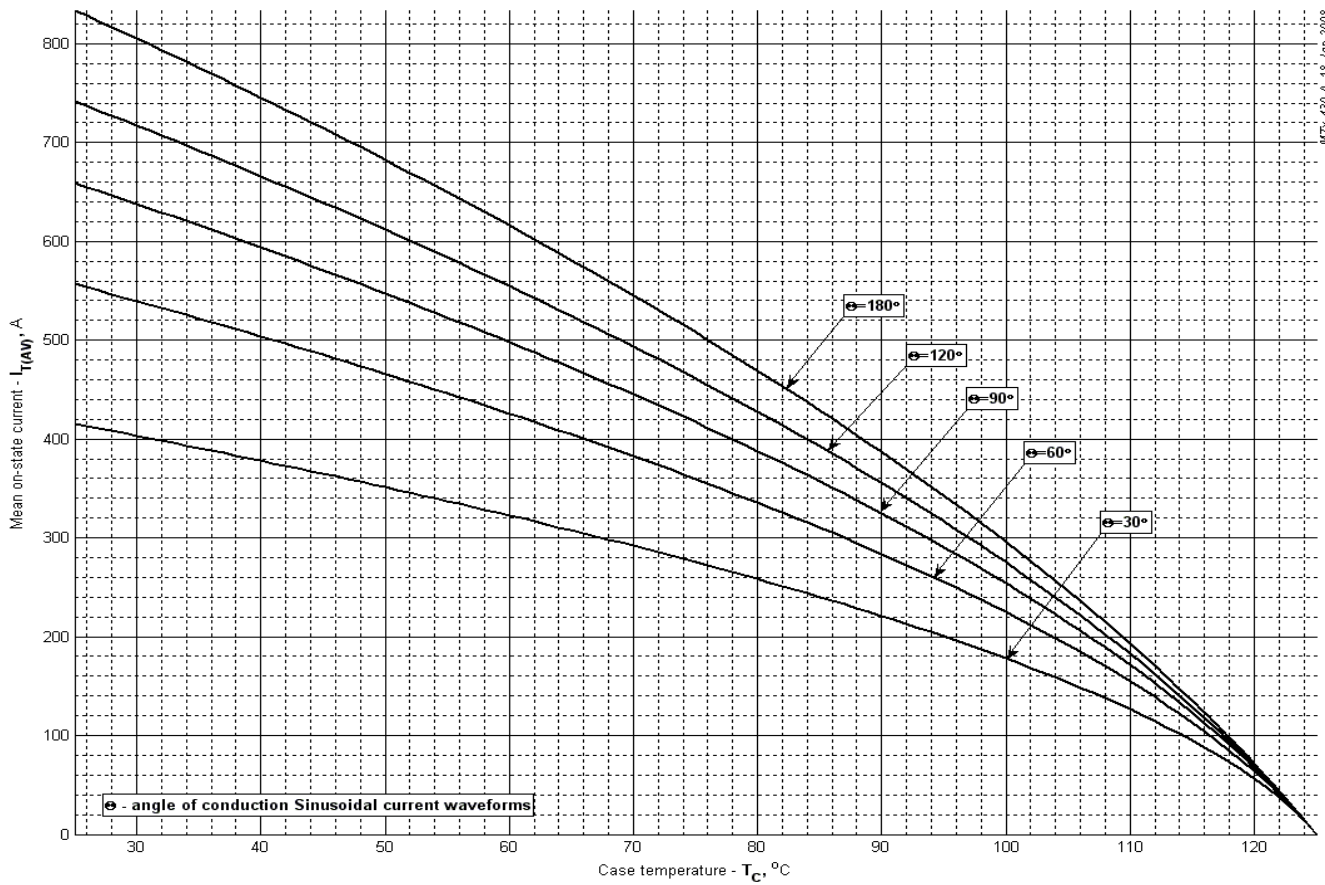


Рис. 11 - Зависимость среднего прямого тока I_{TAV} от температуры корпуса T_C для синусоидальной формы тока при различных углах проводимости ($f=50$ Гц)

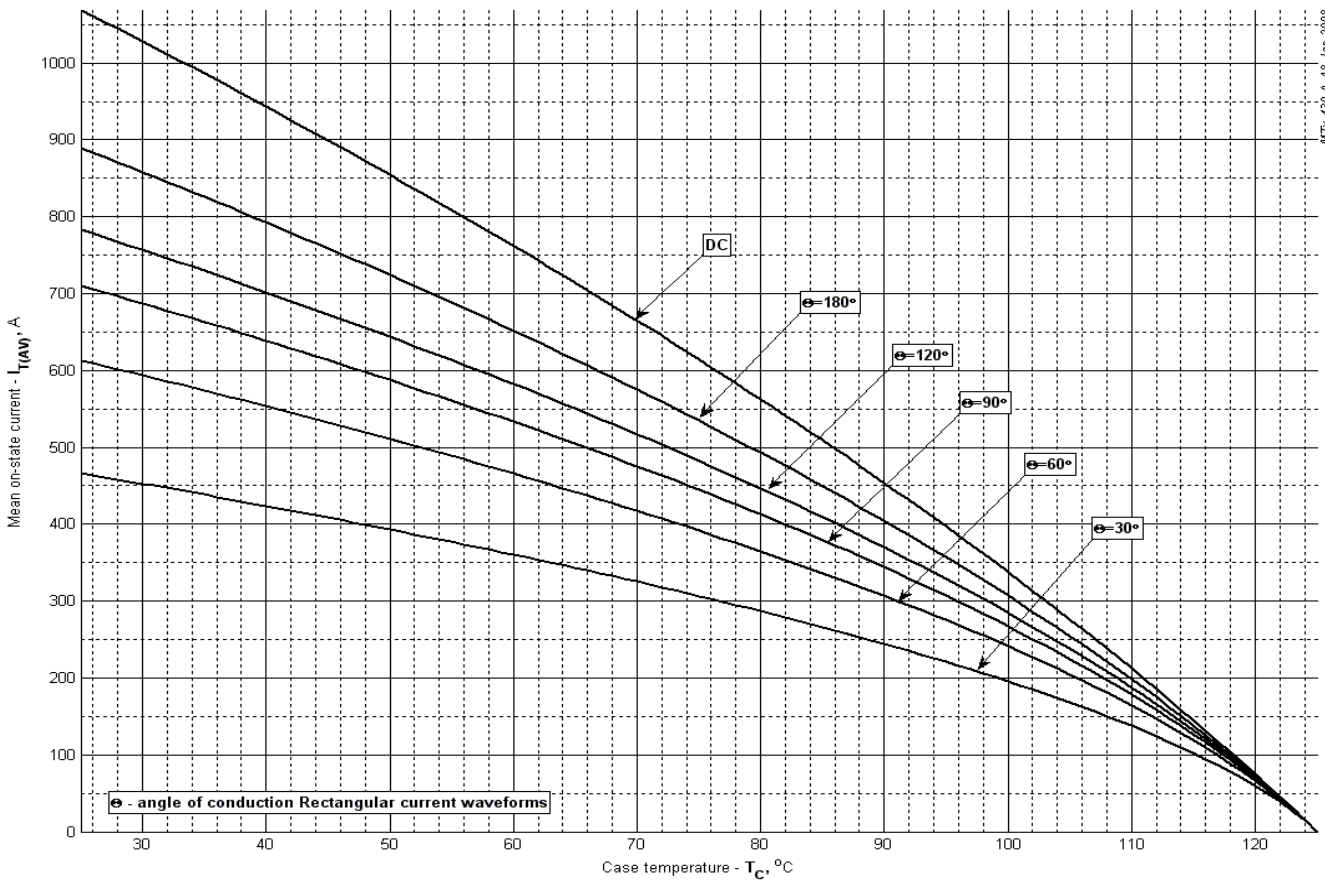


Рис. 12 – Зависимость среднего прямого тока I_{TAV} от температуры корпуса T_C для прямоугольной формы тока при различных углах проводимости ($f=50$ Гц)

$T_J = 125^\circ\text{C}$

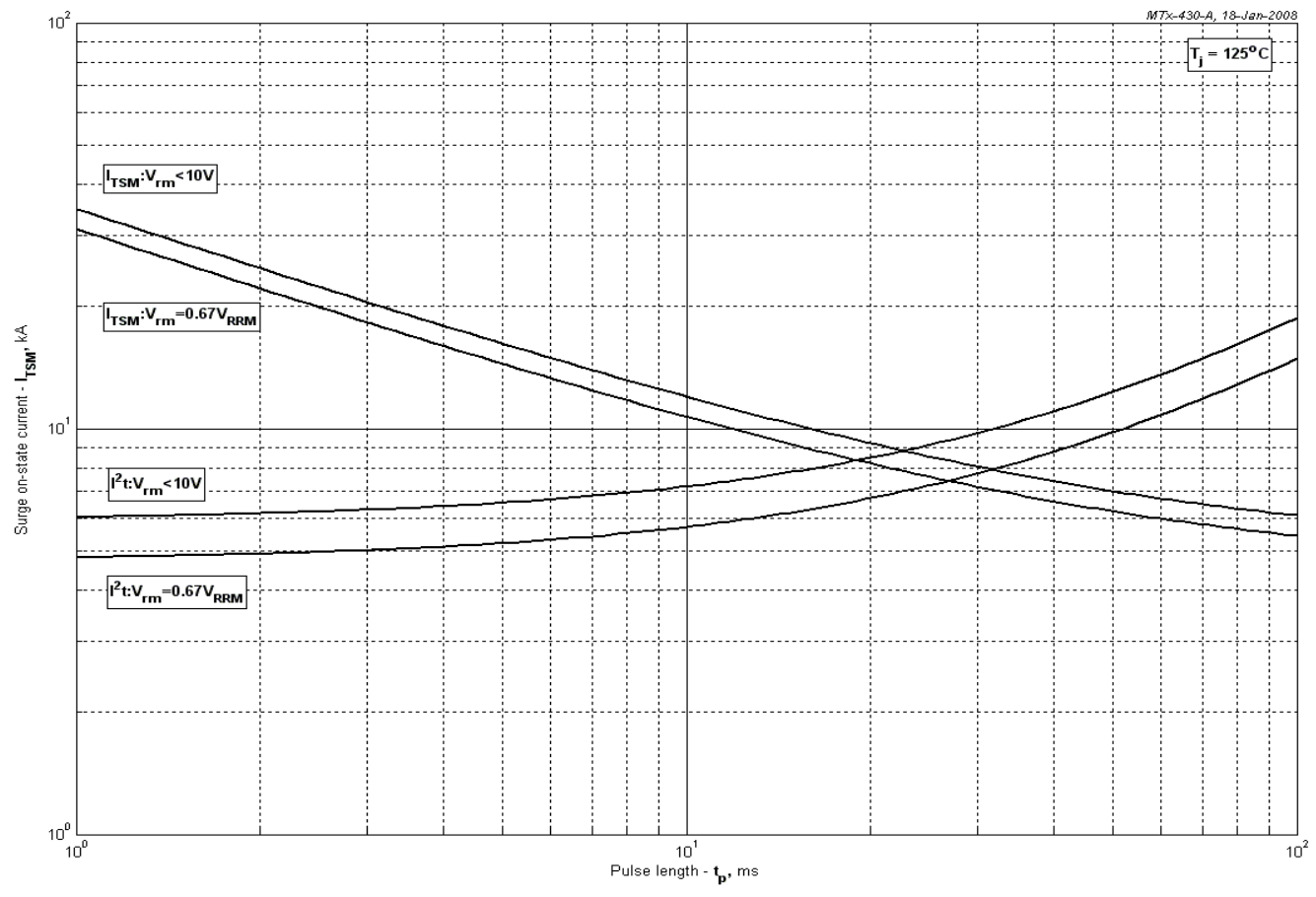


Рис. 13 – Максимальные ударные и I^2t характеристики

$T_J = 125^\circ\text{C}$

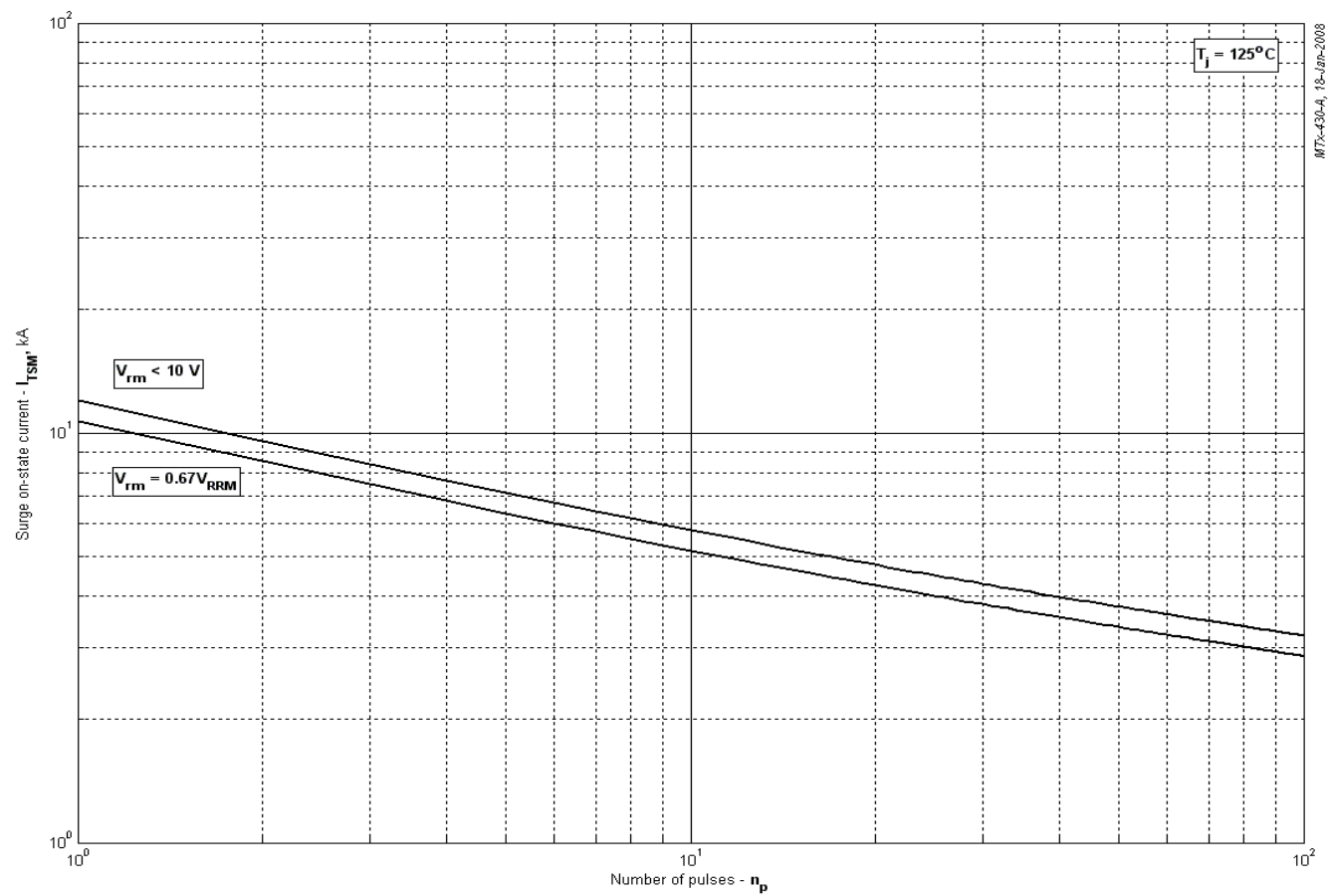


Fig 14 – Максимальные ударные характеристики